

# Генерация и визуализация трёхмерных нормальных подвыборок с различной структурой ковариационной матрицы

Елисеев Данила, 2025, ИС

26 декабря 2025 г.

## 1. Теоретическая часть

Случайный вектор

$$\mathbf{X} = (X_1, X_2, X_3)^\top \sim \mathcal{N}_3(\boldsymbol{\mu}, \boldsymbol{\Sigma})$$

характеризуется вектором средних  $\boldsymbol{\mu} \in \mathbb{R}^3$  и симметричной положительно определённой ковариационной матрицей  $\boldsymbol{\Sigma} \in \mathbb{R}^{3 \times 3}$ . Структура  $\boldsymbol{\Sigma}$  полностью определяет форму распределения: размеры, ориентацию и степень вытянутости эллипсоидов постоянной плотности.

Если  $\mathbf{X} \sim \mathcal{N}_p(\boldsymbol{\mu}, \boldsymbol{\Sigma})$ , его плотность:

$$f(\mathbf{x}) = \frac{1}{(2\pi)^{p/2} |\boldsymbol{\Sigma}|^{1/2}} \exp \left\{ -\frac{1}{2} (\mathbf{x} - \boldsymbol{\mu})^\top \boldsymbol{\Sigma}^{-1} (\mathbf{x} - \boldsymbol{\mu}) \right\}. \quad (1)$$

Множества постоянной плотности — эллипсоиды, задаваемые уровнями уравнениями

$$(\mathbf{x} - \boldsymbol{\mu})^\top \boldsymbol{\Sigma}^{-1} (\mathbf{x} - \boldsymbol{\mu}) = c^2. \quad (2)$$

Оси этого эллипса направлены вдоль собственных векторов  $\mathbf{e}_1, \mathbf{e}_2, \mathbf{e}_3$  матрицы  $\boldsymbol{\Sigma}$ , а длины полуосей равны  $c\sqrt{\lambda_1}, c\sqrt{\lambda_2}, c\sqrt{\lambda_3}$ , где  $\lambda_i$  — соответствующие собственные значения.

Для нормального распределения 95%-эллипса (т.е. содержащий 95% вероятностной массы) соответствует уровню  $c^2 = \chi^2_{3;0.95} \approx 7.815$ , откуда  $c = \sqrt{7.815} \approx 2.795$ .

$i$ -я главная компонента (ГК) популяции имеет вид:

$$Y_i = \mathbf{e}_i^\top \mathbf{X}, \quad \text{Var}(Y_i) = \lambda_i, \quad \text{Cov}(Y_i, Y_j) = 0 \ (i \neq j).$$

Таким образом, ГК — это проекции на оси эллипса рассеяния. Форма и ориентация облака напрямую отражают спектр  $\{\lambda_i\}$  и собственные векторы.

## 2. Описание подвыборок

Генерируются три подвыборки объёма  $n = 100$  каждая из  $\mathcal{N}_3(\boldsymbol{\mu}_k, \boldsymbol{\Sigma}_k)$ :

## 2.1. Подвыборка 1: Сферическое распределение

$$\boldsymbol{\mu}_1 = (0, 0, 0)^\top,$$

$$\boldsymbol{\Sigma}_1 = \begin{pmatrix} 1.0 & 0.0 & 0.0 \\ 0.0 & 1.0 & 0.0 \\ 0.0 & 0.0 & 1.0 \end{pmatrix}.$$

Диагональная матрица, т.е.  $X_1, X_2, X_3$  независимы. Все дисперсии равны единице, что даёт сферическое распределение.

## 2.2. Подвыборка 2: Вытянутое распределение

$$\boldsymbol{\mu}_2 = (5, 5, 5)^\top,$$

$$\boldsymbol{\Sigma}_2 = \begin{pmatrix} 1.0 & 0.0 & 0.0 \\ 0.0 & 1.0 & 0.0 \\ 0.0 & 0.0 & 5.0 \end{pmatrix}.$$

Диагональная матрица с различными дисперсиями. Переменные независимы, но наибольший разброс по оси  $Z$  (дисперсия равна 5), что приводит к вытянутому эллипсоиду вдоль оси  $Z$ .

## 2.3. Подвыборка 3: Коррелированное распределение

$$\boldsymbol{\mu}_3 = (10, 0, 0)^\top,$$

$$\boldsymbol{\Sigma}_3 = \begin{pmatrix} 1.0 & 0.8 & 0.8 \\ 0.8 & 1.0 & 0.8 \\ 0.8 & 0.8 & 1.0 \end{pmatrix}.$$

Полная взаимная корреляция всех компонент. Корреляция между всеми парами переменных равна 0.8, что приводит к повороту эллипса в пространстве. Обратим внимание, что такая матрица положительно определена (все собственные значения положительны).

## 3. Алгоритм генерации

1. Устанавливается `set.seed(123)` для воспроизводимости.
2. С помощью функции `mvtnorm()` из пакета MASS генерируются подвыборки.
3. Вычисляется спектральное разложение для каждой ковариационной матрицы:

$$\boldsymbol{\Sigma}_k = \mathbf{U}_k \text{diag}(\lambda_1^{(k)}, \lambda_2^{(k)}, \lambda_3^{(k)}) \mathbf{U}_k^\top,$$

где  $\mathbf{U}_k$  — матрица собственных векторов,  $\lambda_i^{(k)}$  — собственные значения.

4. Строится 3D-диаграмма рассеяния с наложенными 95%-эллипсоядами рассеяния.

## 4. Результаты спектрального разложения

Для каждой подвыборки вычислены собственные значения и собственные векторы ковариационной матрицы. Результаты представлены в таблице 1.

Для матрицы  $\Sigma_3$  с корреляцией  $\rho = 0.8$  между всеми парами переменных собственные значения можно вычислить аналитически. Характеристическое уравнение:

$$\det(\Sigma_3 - \lambda \mathbf{I}) = 0.$$

Для матрицы вида

$$\begin{pmatrix} 1 & \rho & \rho \\ \rho & 1 & \rho \\ \rho & \rho & 1 \end{pmatrix}$$

собственные значения:  $\lambda_1 = 1 + 2\rho = 2.6$ ,  $\lambda_2 = \lambda_3 = 1 - \rho = 0.2$ .

Таблица 1: Собственные значения ковариационных матриц

| Подвыборка          | $\lambda_1$ | $\lambda_2$ | $\lambda_3$ |
|---------------------|-------------|-------------|-------------|
| 1 (Сферическая)     | 1.0000      | 1.0000      | 1.0000      |
| 2 (Вытянутая)       | 5.0000      | 1.0000      | 1.0000      |
| 3 (Коррелированная) | 2.6000      | 0.2000      | 0.2000      |

Доли объяснённой дисперсии главными компонентами:

- Подвыборка 1:  $\frac{1.0}{3.0} = 33.3\%$  (все компоненты равнозначны)
- Подвыборка 2:  $\frac{5.0}{7.0} \approx 71.4\%$  (первая ГК),  $\frac{1.0}{7.0} \approx 14.3\%$  (вторая и третья ГК)
- Подвыборка 3:  $\frac{2.6}{3.0} \approx 86.7\%$  (первая ГК),  $\frac{0.2}{3.0} \approx 6.7\%$  (вторая и третья ГК)

Для подвыборки 3 первая главная компонента объясняет более 86% дисперсии, что указывает на сильную линейную зависимость между переменными.

## 5. Визуализация

На рис. 1 показаны три подвыборки:

- красные точки и полупрозрачный красный эллипсоид — подвыборка 1;
- синие точки и синий эллипсоид — подвыборка 2;
- тёмно-зелёные точки и зелёный эллипсоид — подвыборка 3.

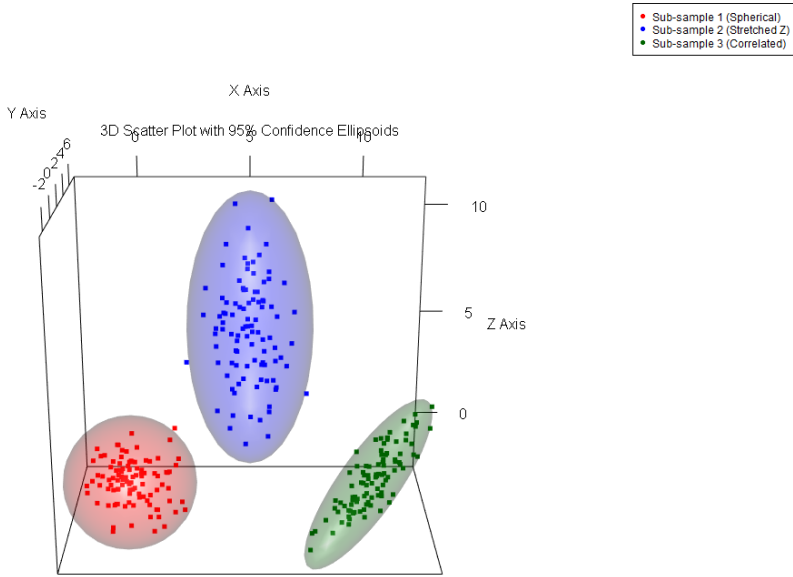


Рис. 1: 3D-облака и 95%-эллипсоиды рассеяния

### 5.1. Подвыборка 1 (диагональная $\Sigma_1$ )

- Поскольку  $\Sigma_1$  диагональна и имеет равные элементы, главные направления совпадают с координатными осями.
- Эллипсоид имеет сферическую форму: все полуоси равны  $c\sqrt{1.0} \approx 2.80$ .
- Отсутствие наклона — прямое следствие нулевых ковариаций  $s_{12} = s_{13} = s_{23} = 0$ .
- Для нормального распределения некоррелированность  $\Leftrightarrow$  независимость.

### 5.2. Подвыборка 2 (вытянутая по оси Z)

- Диагональная матрица с различными дисперсиями.
- Эллипсоид вытянут вдоль оси Z:  $\lambda_1 = 5.0$ , полуось длиной  $c\sqrt{5.0} \approx 6.25$ .
- По осям X и Y полуоси равны  $c\sqrt{1.0} \approx 2.80$ .
- Переменные независимы, но масштабы различны.

### 5.3. Подвыборка 3 (общая корреляция)

- Собственные векторы уже не совпадают ни с одной координатной осью.
- Ориентация эллипсоида — произвольная в  $\mathbb{R}^3$ ; его оси образуют базис ГК.
- Длины полуосей:  $c\sqrt{2.6} \approx 4.52$ ,  $c\sqrt{0.2} \approx 1.25$ ,  $c\sqrt{0.2} \approx 1.25$ , где  $c \approx 2.795$ .

- Большое различие между  $\lambda_1 = 2.6$  и  $\lambda_2 = \lambda_3 = 0.2$  говорит о сильной вытянутости вдоль первого главного направления.
- Первый собственный вектор для такой матрицы имеет вид  $\mathbf{e}_1 = \frac{1}{\sqrt{3}}(1, 1, 1)^\top$  — направление максимальной дисперсии совпадает с главной диагональю пространства.

Этот случай наиболее сложен для интуитивного восприятия — именно он демонстрирует необходимость РСА: проекция на главные оси позволяет получить некоррелированные координаты  $Y_1, Y_2, Y_3$ , в которых распределение «распрямляется».

## 6. Выводы

Ковариационная матрица  $\Sigma$  полностью управляет геометрией нормального облака точек:

- диагональные элементы  $\Rightarrow$  масштаб по осям;
- недиагональные элементы  $\Rightarrow$  поворот и сдвиг в пространстве.

Наличие корреляций ведёт к повороту эллипсоида рассеяния в подпространствах, соответствующих парам связанных переменных. Геометрическая интерпретация главных компонент подтверждается экспериментально: главные направления  $\Leftrightarrow$  оси эллипсоидов.

Визуализация в 3D (особенно с наложенными эллипсоидами) является эффективным инструментом для диагностики структуры данных и проверки адекватности многомерных моделей.

## 7. Приложение: Код на R

```
# Основной код находится в файле      task1.R
# Код включает :
#   - Генерацию данных с помощью      mvrnorm()
#   - Спектрально разложение ковариационных матриц
#   - Построение 3D графиков с эллипсоидами
#   - Анализ главных компонент
```